

1-7 放水暗さよりに発生する揚圧力に関する研究

高知大学農学部 正員 〇玉井 佐一
島根県庁土木部 中尾 美樹夫

1. まがき

河口暗さよりに波の侵入によつて暗さ内に衝撃的揚圧力が発生し暗さよりの破壊による排水不能が洪水定着の一因ともなつてゐる。この研究は放水暗さよりに発生する衝撃波力の特性について実験的に検討するにともなひ若干の理論的考察を行ひ、実験結果と比較検討したものである。

2. 理論解析

静水面上dの距離にある板に力づく動水圧の理論的取扱いはありて、波 海浜 板の特性をすべて考慮するに非常に複雑となる。ここでは単純化した水平板について取扱ふ。板に作用する圧力の基本式は初期波の振幅を η とすると

$$\eta = d, \quad \frac{P_0}{r} = A \frac{d}{dt} \left(\frac{M}{r} U_0 \right) \dots \dots \dots (1)$$

静水面上から位置zの圧力 P_z の一般式は

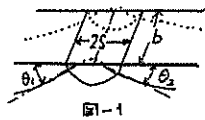
$$\eta > d, \quad \frac{P_z}{r} = -\gamma - \frac{1}{2} \frac{\partial \phi}{\partial t} - \frac{v^2}{2g} + \frac{1}{2} f(t) \dots \dots \dots (2)$$

ここに P_0 : 衝撃力, M : 衝撃力中心に作用する水の質量, U_0 : 質量 M の鉛直方向速度, A : 受圧面積, r : 水の単位重量, η : 速度ポテンシャル, g : 重力加速度

(1) 定常波の場合

カルマンの仮定によれば、このよう板の衝撃圧力に關する質量 M は幅 b 、直径 $2S$ をもつ半円筒の水の質量に等しいといつてゐる。可成り

$$M = \frac{\rho \pi}{2} S^2 b \dots \dots \dots (3)$$



また $A = 2Sb$ とし、 U_0 を自由表面における水粒子速度 U とすると

$$\frac{P_0}{r} = \frac{\pi \rho}{2g} \frac{dS}{dt} \dots \dots \dots (4)$$

となる。また暗さ内の波形が板の基準線(図-1)のような形をとつてると

$$\frac{dS}{dt} = U (\cot \theta_1 + \cot \theta_2) \dots \dots \dots (5)$$

これを(4)式に入ると

(1) Von. Kármán, T. The impact on deep-sea floats during landing. National Advisory Committee for Aeronautics, Technical note 7430/117

$$\frac{P_0}{r} = \frac{\pi U^2}{2g} \frac{\sin(\theta_1 + \theta_2)}{\sin \theta_1 \sin \theta_2} = \frac{\pi U^2}{2g} \cdot \delta \dots \dots \dots (6)$$

となる。一方(2)式に(1)を

$$\frac{\partial \phi}{\partial t} = -\gamma \frac{\cot \theta \frac{2x(R+\eta)}{r}}{\cot \theta \frac{2\pi h}{r}} \dots \dots \dots (7)$$

とすると

$$\begin{aligned} \frac{P_z}{r} &= -\gamma + \gamma \frac{\cot \theta \frac{2x(R+\eta)}{r}}{\cot \theta \frac{2\pi h}{r}} + (\text{higher order terms}) \\ &= -\gamma + \beta \gamma \dots \dots \dots (8) \end{aligned}$$

静水面上dの位置zは

$$\frac{P_z}{r} = \beta \gamma - d \dots \dots \dots (9)$$

(β : Pressure Response factor = 1.2)

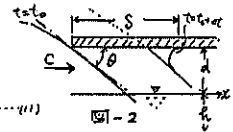
(2) 進行波の場合

図-2のように板の下方に波が侵入した時の瞬間的な変化率は

$$\frac{dS}{dt} = C + U \cot \theta \dots \dots \dots (10)$$

これを(4)式に入ると

$$\frac{P_0}{r} = \frac{\pi}{2g} U (C + U \cot \theta) \dots \dots \dots (11)$$



浅瀬板の水面変化は、水面上の粒子鉛直速度 U と ω 波速 C とを式、 $\cot \theta = \frac{dx}{dy} = \frac{\lambda}{\pi H (1 - \frac{4\eta^2}{H^2})^{1/2}} \dots \dots \dots (12)$

と(11)式に入ると

$$\frac{P_0}{rH} = \frac{\pi}{2} \tanh \frac{2\pi b}{\lambda} \left(1 - \frac{4\eta^2}{H^2} \right)^{1/2} \dots \dots \dots (13)$$

H は任意長の波高とする。静水面上dの位置にある板に与つて(13)式の $\eta = d$ と(12)より

λ は波高 H と η とを S と L 空間 d における波の伝達性(考慮)とを η と

$$\frac{H}{H_1} = \frac{1}{\left[1 + \left(\frac{\pi L}{\lambda} \left(1 - \frac{2d}{H_1} \right)^2 \right)^2 \right]^{1/2}} \dots \dots \dots (14)$$

(14) & (13) に代入

$$\frac{P_2}{T} = \frac{\pi}{2} H_1 \tanh \frac{2\pi L}{\lambda} \left\{ \frac{1 - 4d^2 \left[\frac{\pi L}{\lambda} \left(1 - \frac{2d}{H_1} \right) \right]^2}{1 + \left[\frac{\pi L}{\lambda} \left(1 - \frac{2d}{H_1} \right) \right]^2} \right\}^{\frac{1}{2}} \quad \dots\dots (15)$$

また P_2/T は(9)式において $\beta = 2.0$ とすると

$$\frac{P_2}{T} = \frac{H_1}{\left\{ 1 + \left[\frac{\pi L}{\lambda} \left(1 - \frac{2d}{H_1} \right) \right]^2 \right\}^{\frac{1}{2}}} - d \quad \dots\dots (16)$$

となる。

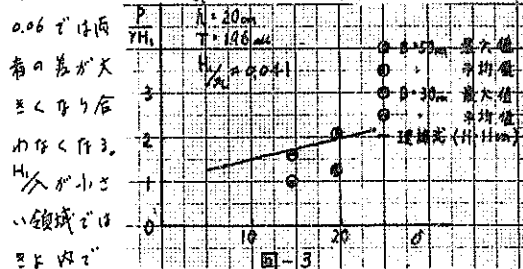
3. 実験設備および実験方法

実験は長さ 20m、幅 2m、深さ 1.5m の波水槽に使用し、一端に水平部長 2m、高さ 50cm の固定床マウンドを設けた。マウンド沖側の斜面勾配は 1:7 とし、この斜面より 50cm の位置に暗さ 5 沖側先端がくるよう設置した。暗さ 5 の大きさは長さ 1.5m、高さ 30cm の $\phi 50$ mm の管類とした。上板中央線上に先端部より 15、25、50、100mm 間隔に 1/5 尺、波圧計をとりつけた。

放水槽より波の進行は定常波と進行波を対象とし、定常波の場合は水深 $h = 20$ cm、25cm とし、波の周期 $T = 1.2, 1.6$ sec の 1.96 sec、波高 $H_1 = 4 \sim 15$ cm とした。進行波の場合は長さ $L = 24, 27$ cm とした。両方波高 H_1 (入射波高) は暗さ 5 沖側先端に測定した。また、波槽内の波形の变化は写真撮影によった。

4. 実験結果とその考察

定常波の場合、横軸に(16)式における δ 、縦軸に P_2/H_1 ($P = P_1 + P_2$) として示す図-3 のようである。実験数が少ないが、最大値については実験値と計算値は比較的良好に合っている。 $(\beta = 2.0)$ とし計算) δ が $L/\lambda > 0.06$ 以上の場合、



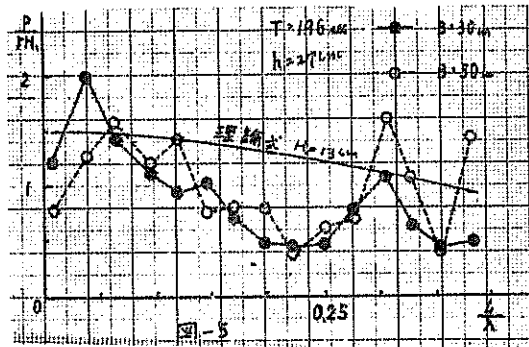
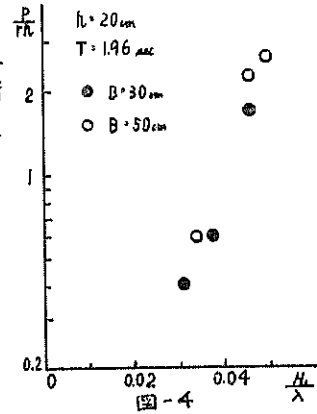
スローな定常波形が現れやすくなる。 H_1/λ が大きくなるには、波の周期が短くなることの原因となっている。

図-4 は H_1/λ と P_2/H_1 の関係を示した。両者は片対数上にほぼ直線的関係が示された。

2) Carr, H. G. Reflection and transmission of water waves by a fixed and forced rigid surface barriers. C.I.T. Hydr. Lab., Progress Report on Contract N103-7047, 1950.

進行波の場合

波槽内に発生する波の特性を横軸に暗さ 5 の長さ L と波長 λ の比 L/λ とし、2 示す図-5 のようである。理論値と実験値とはその傾向を異にしている。これは理論計算における波高は放水暗さ 5



先端より徐々に波高が小さくなることになっているのに対し、実験では側壁の影響等により、かなり複雑に変動している。入口部衝突に波は急激に波高が減少する。したがって計算では最大波圧発生地は暗さ 5 先端部であるが、実験値は先端より、側部で第一次極大波圧が発生し、その後波圧は急激に減少するが、再び側部で波圧が増大し、第二次極大波圧が発生する。この極大波圧は $T = 1.96$ sec の時 $L/\lambda = 0.05 \sim 0.1$ 及び $0.3 \sim 0.35$ の 2 地、 $T = 1.6$ sec の時 $L/\lambda = 0.05 \sim 0.1, 0.3 \sim 0.35$ 及び $0.6 \sim 0.65$ の 2 地、 $T = 1.2$ sec の時 $L/\lambda = 0.1 \sim 0.15$ 及び $0.6 \sim 0.65$ の 2 地に発生する。

波槽内に発生する最大波圧 P_{max} と H_1/λ の関係を図-6 に示す。これはほぼ直線的関係があることがわかる。

